

Starkniederschlagshöhen und -spenden gemäß KOSTRA-DWD-2010R

Auswertungszeitraum von 1951 - 2010, Januar - Dezember

Rasterfeld: 83045

Zeile: 83

Spalte: 45

Seite: 1/2

| Dauerstufe D | | Wiederkehrzeit T | | | | | | | | | | | | | | | | | |
|--------------|-----|------------------|------------|------|------------|------|------------|------|------------|------|------------|------|------------|-------|------------|-------|------------|-------|------------|
| | | 1 a | | 2 a | | 3 a | | 5 a | | 10 a | | 20 a | | 30 a | | 50 a | | 100 a | |
| min | Std | mm | l / (s ha) | mm | l / (s ha) | mm | l / (s ha) | mm | l / (s ha) | mm | l / (s ha) | mm | l / (s ha) | mm | l / (s ha) | mm | l / (s ha) | mm | l / (s ha) |
| 5 | | 5,0 | 166,7 | 6,7 | 223,3 | 7,7 | 256,7 | 8,9 | 296,7 | 10,6 | 353,3 | 12,3 | 410,0 | 13,2 | 440,0 | 14,5 | 483,3 | 16,2 | 540,0 |
| 10 | | 8,0 | 133,3 | 10,3 | 171,7 | 11,7 | 195,0 | 13,4 | 223,3 | 15,7 | 261,7 | 18,0 | 300,0 | 19,3 | 321,7 | 21,0 | 350,0 | 23,4 | 390,0 |
| 15 | | 10,0 | 111,1 | 12,8 | 142,2 | 14,4 | 160,0 | 16,5 | 183,3 | 19,2 | 213,3 | 22,0 | 244,4 | 23,7 | 263,3 | 25,7 | 285,6 | 28,5 | 316,7 |
| 20 | | 11,4 | 95,0 | 14,6 | 121,7 | 16,5 | 137,5 | 18,8 | 156,7 | 22,0 | 183,3 | 25,2 | 210,0 | 27,0 | 225,0 | 29,4 | 245,0 | 32,5 | 270,8 |
| 30 | | 13,3 | 73,9 | 17,2 | 95,6 | 19,4 | 107,8 | 22,2 | 123,3 | 26,1 | 145,0 | 29,9 | 166,1 | 32,1 | 178,3 | 34,9 | 193,9 | 38,8 | 215,6 |
| 45 | | 15,0 | 55,6 | 19,6 | 72,6 | 22,3 | 82,6 | 25,7 | 95,2 | 30,3 | 112,2 | 34,9 | 129,3 | 37,6 | 139,3 | 41,0 | 151,9 | 45,7 | 169,3 |
| 60 | | 16,0 | 44,4 | 21,3 | 59,2 | 24,3 | 67,5 | 28,2 | 78,3 | 33,5 | 93,1 | 38,8 | 107,8 | 41,8 | 116,1 | 45,7 | 126,9 | 51,0 | 141,7 |
| 90 | | 17,6 | 32,6 | 23,1 | 42,8 | 26,2 | 48,5 | 30,2 | 55,9 | 35,7 | 66,1 | 41,1 | 76,1 | 44,2 | 81,9 | 48,2 | 89,3 | 53,7 | 99,4 |
| 120 | 2 | 18,9 | 26,2 | 24,4 | 33,9 | 27,7 | 38,5 | 31,8 | 44,2 | 37,3 | 51,8 | 42,8 | 59,4 | 46,1 | 64,0 | 50,1 | 69,6 | 55,7 | 77,4 |
| 180 | 3 | 20,9 | 19,4 | 26,6 | 24,6 | 29,9 | 27,7 | 34,1 | 31,6 | 39,8 | 36,9 | 45,5 | 42,1 | 48,8 | 45,2 | 53,0 | 49,1 | 58,7 | 54,4 |
| 240 | 4 | 22,4 | 15,6 | 28,2 | 19,6 | 31,6 | 21,9 | 35,8 | 24,9 | 41,7 | 29,0 | 47,5 | 33,0 | 50,8 | 35,3 | 55,1 | 38,3 | 60,9 | 42,3 |
| 360 | 6 | 24,7 | 11,4 | 30,6 | 14,2 | 34,1 | 15,8 | 38,5 | 17,8 | 44,5 | 20,6 | 50,5 | 23,4 | 54,0 | 25,0 | 58,4 | 27,0 | 64,3 | 29,8 |
| 540 | 9 | 27,2 | 8,4 | 33,4 | 10,3 | 37,0 | 11,4 | 41,5 | 12,8 | 47,6 | 14,7 | 53,8 | 16,6 | 57,4 | 17,7 | 61,9 | 19,1 | 68,0 | 21,0 |
| 720 | 12 | 29,2 | 6,8 | 35,4 | 8,2 | 39,1 | 9,1 | 43,7 | 10,1 | 50,0 | 11,6 | 56,3 | 13,0 | 59,9 | 13,9 | 64,5 | 14,9 | 70,8 | 16,4 |
| 1080 | 18 | 32,2 | 5,0 | 38,6 | 6,0 | 42,4 | 6,5 | 47,2 | 7,3 | 53,6 | 8,3 | 60,0 | 9,3 | 63,8 | 9,8 | 68,6 | 10,6 | 75,0 | 11,6 |
| 1440 | 24 | 34,5 | 4,0 | 41,1 | 4,8 | 44,9 | 5,2 | 49,8 | 5,8 | 56,4 | 6,5 | 62,9 | 7,3 | 66,8 | 7,7 | 71,6 | 8,3 | 78,2 | 9,1 |
| 2880 | 48 | 45,2 | 2,6 | 53,9 | 3,1 | 59,0 | 3,4 | 65,3 | 3,8 | 74,0 | 4,3 | 82,6 | 4,8 | 87,7 | 5,1 | 94,1 | 5,4 | 102,8 | 5,9 |
| 4320 | 72 | 53,0 | 2,0 | 62,9 | 2,4 | 68,6 | 2,6 | 75,9 | 2,9 | 85,8 | 3,3 | 95,7 | 3,7 | 101,4 | 3,9 | 108,7 | 4,2 | 118,6 | 4,6 |

Angaben in mm: Bemessungsniederschlagswerte h(n)

Angaben in l / (s ha): Regenspende R(n) mit $R(n) = h(n) \times 1,666667 / D[\text{min}]$

Toleranzbereiche:

+/- 10 % für $1 a \leq T \leq 5 a$

+/- 15 % für $5 a < T \leq 50 a$

+/- 20 % für $50 a < T \leq 100 a$

Datenbasis: KOSTRA-DWD-2010R des Deutschen Wetterdienstes. Die Regenspende wurde auf Basis des Bemessungsniederschlags zur jeweiligen Andauer berechnet.

Für die Richtigkeit und Aktualität der Angaben wird keine Gewähr übernommen. Erstellt 07/2022.

Starkniederschlagshöhen und -spenden gemäß KOSTRA-DWD-2010R

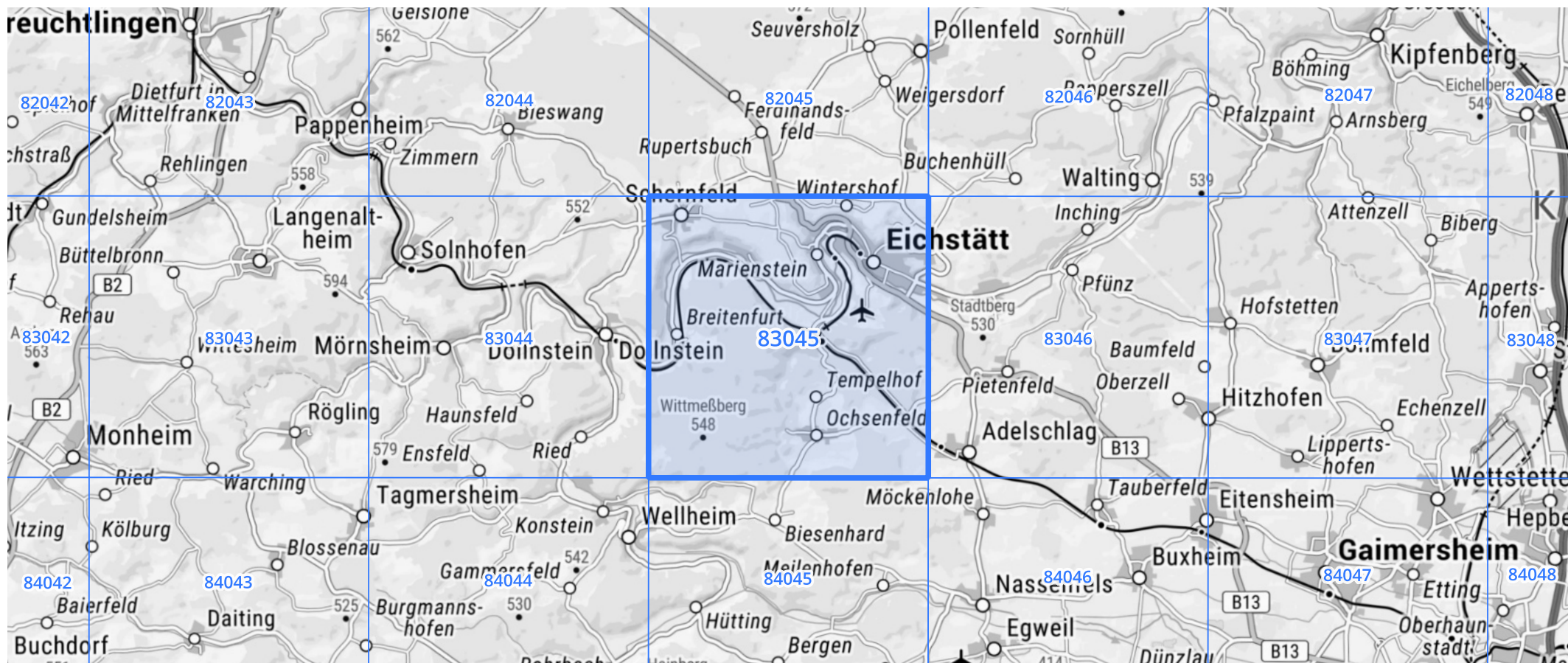
Auswertungszeitraum von 1951 - 2010, Januar - Dezember

Rasterfeld: 83045

Zeile: 83

Spalte: 45

Seite: 2/2



Quelle Rasterdaten: KOSTRA-DWD-2010R des Deutschen Wetterdienstes.

Kartendarstellung: © Bundesamt für Kartographie und Geodäsie (2022), Datenquellen: https://sgx.geodatenzentrum.de/web_public/gdz/datenquellen/Datenquellen_TopPlusOpen.html

Für die Richtigkeit und Aktualität der Angaben wird keine Gewähr übernommen. Erstellt 07/2022.